



Université  
de Limoges



# Mise au point d'un modèle murin de neuropathie périphérique induite aux immunoconjugués cytotoxiques à auristatine

Simon Frachet

Service de Neurologie – CHU de Limoges

UR 20218 – Neuropathies et Innovations Thérapeutiques



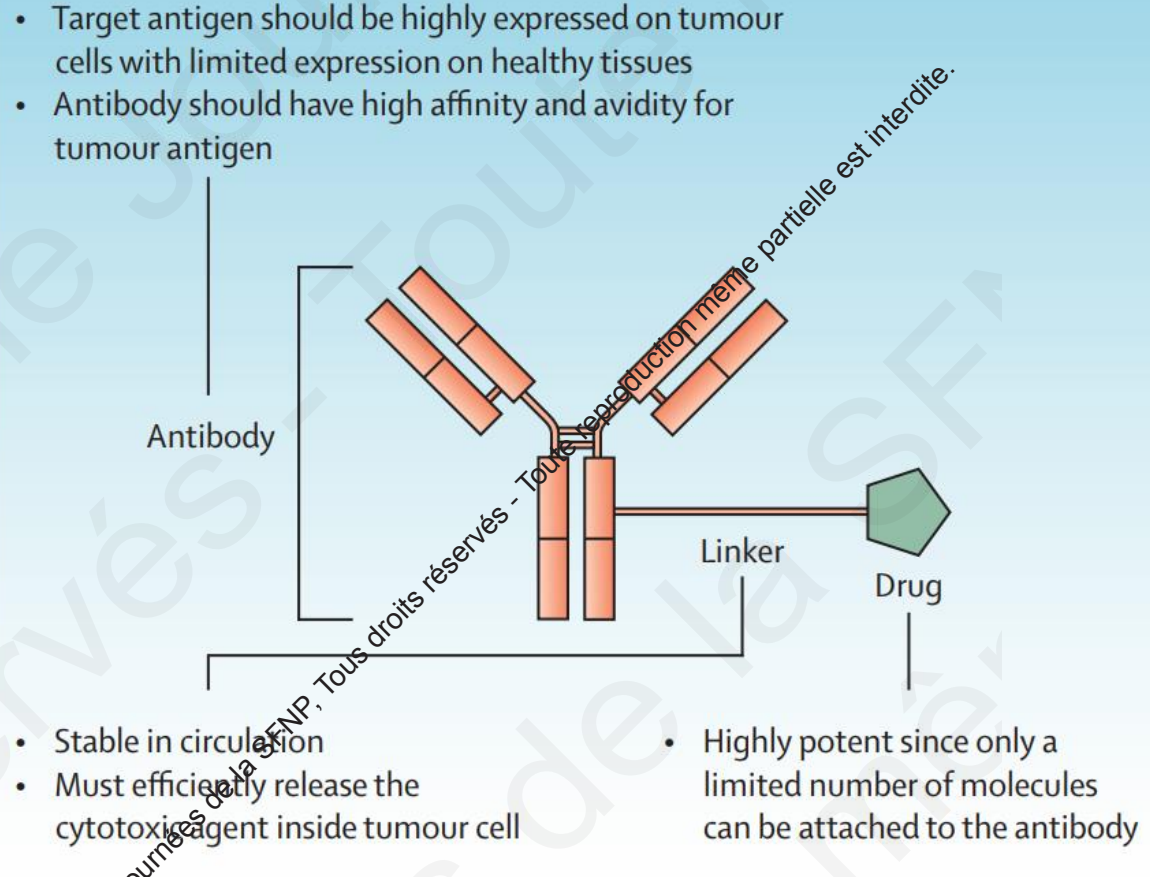
Bourse de recherche SFNP – CSL Behring 2021

# Immunoconjugué cytotoxique (1)

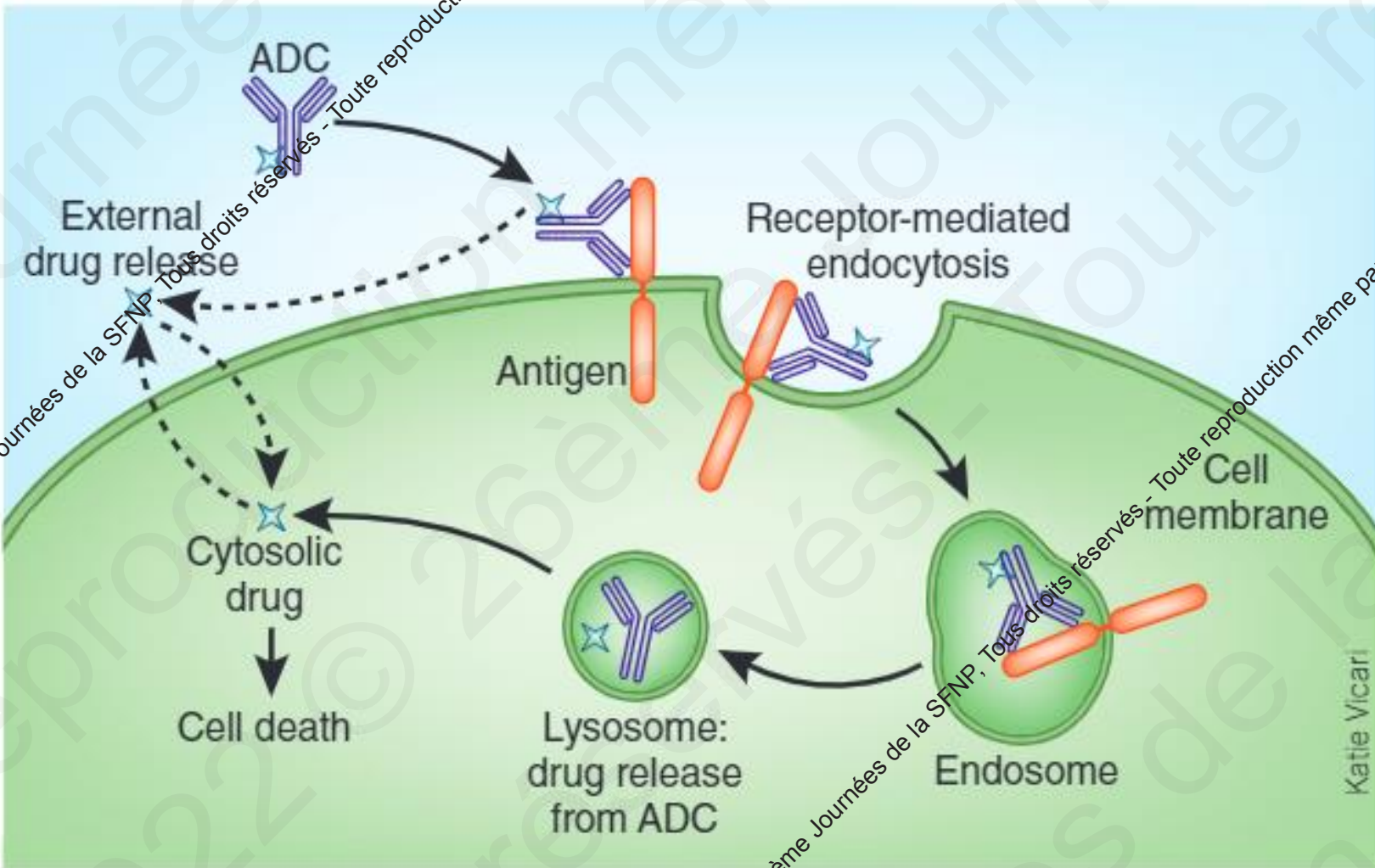
= *Antibody Drug Conjugate (ADC)*

- **Anticorps ciblant un antigène tumoral**
- Couplé via un peptide « **linker** »
- à une molécule **cytotoxique**

Permettent un adressage plus spécifique de molécules hautement cytotoxiques aux cellules tumorales



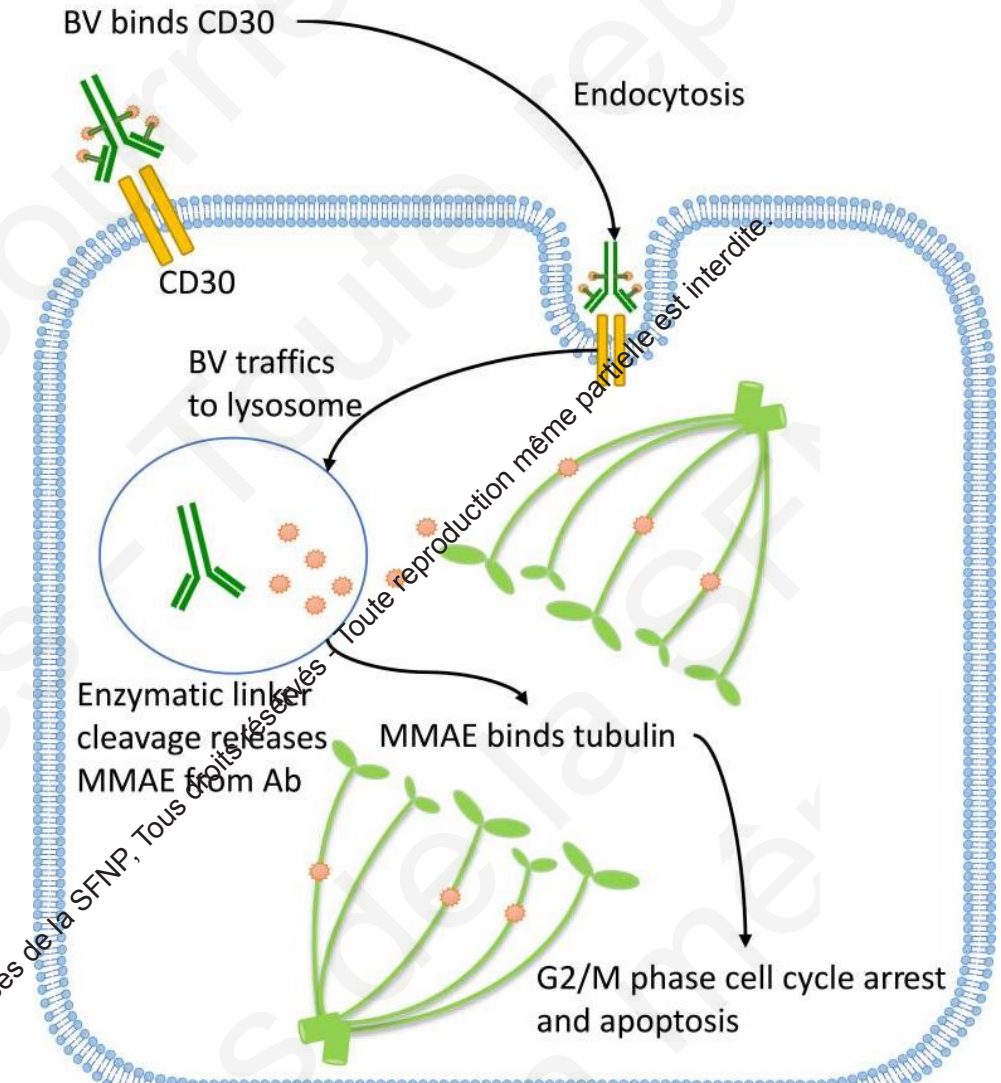
# Immunoconjugué cytotoxique (2)



# Monomethyl Auristatin E (MMAE)

- Principal cytotoxique des immunoconjugués
- Bloque la polymérisation des microtubules
- Chef de file : Brentuximab-Vedotin  
Anti-CD30 + MMAE  
Indication : lymphomes CD30+
- Importante neurotoxicité périphérique
  - 52-67% de neuropathies dans les phases II/III du Brentuximab-Vedotin

(Moskowitz et Al. Lancet 2015, Prince et Al. Lancet 2017, Horowitz et Al. Lancet 2018)

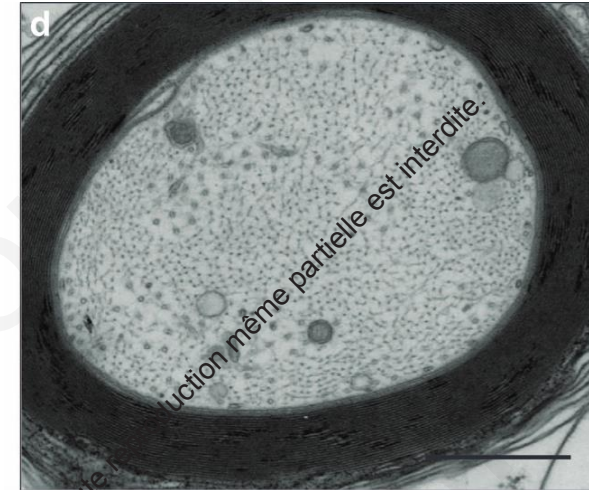


Makita et Al. OncoTargets and Therapy 2020

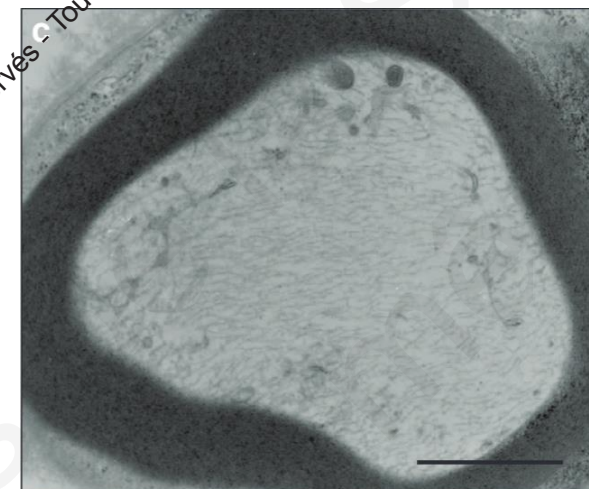
# Neurotoxicité de la MMAE

Mariotto et Al. Blood Cancer Journal 2015

- Liée à la diffusion de la MMAE aux fibres nerveuses
  - rupture du réseau microtubulaire
  - perturbation du flux axoplasmique
- Indépendant de la cible antigénique de l'immunoconjugué
- Mécanisme de diffusion débattu :
  - Instabilité du linker,
  - Diffusion libre de la MMAE à travers les membranes,
  - Captation nerveuse de l'immunoconjugué par un mécanisme non antigène-spécifique (pinocytose, Fc, ...)



CTRL



ADC-  
MMAE

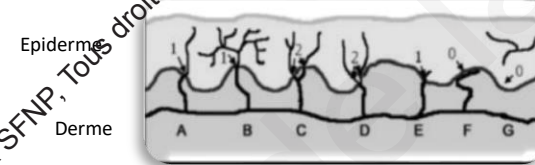
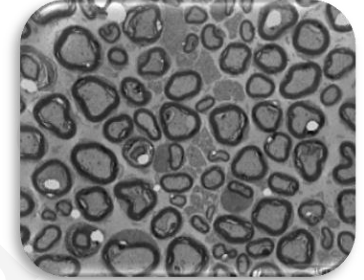
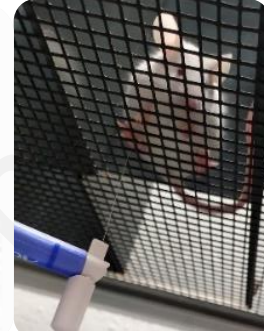
# Modèle murin de neuropathie à la MMAE

Véhicule (sérum physiologique) ou MMAE (50 µg/kg/2j ; i.p.)

2 groupes:

- Veh
- MMAE

J0



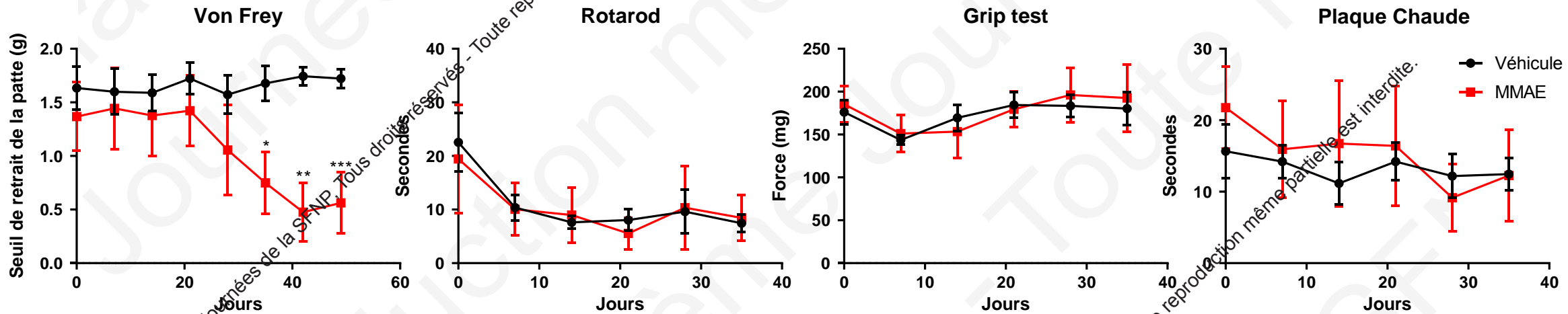
Analyse morphologique du nerf sciatique (ME)

Densité des fibres nerveuses intra-épidermiques (IENFs)

## Tests fonctionnels : 1 x / semaine

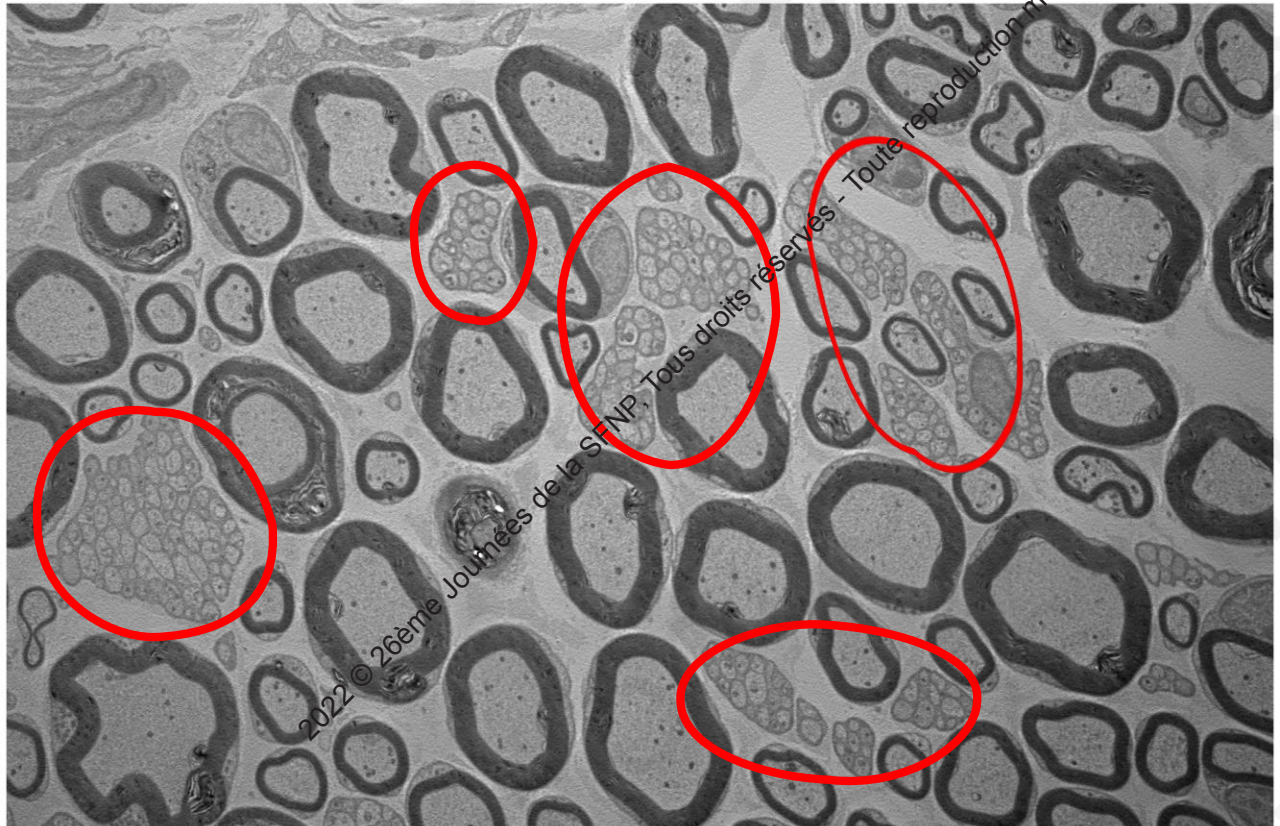
- Coordination motrice (proprioception) : Rotarod
- Force de préhension : Grip test
- Nociception thermique : Test de plaque chaude
- Sensibilité tactile : monofilament de Von Frey

# Tests fonctionnels

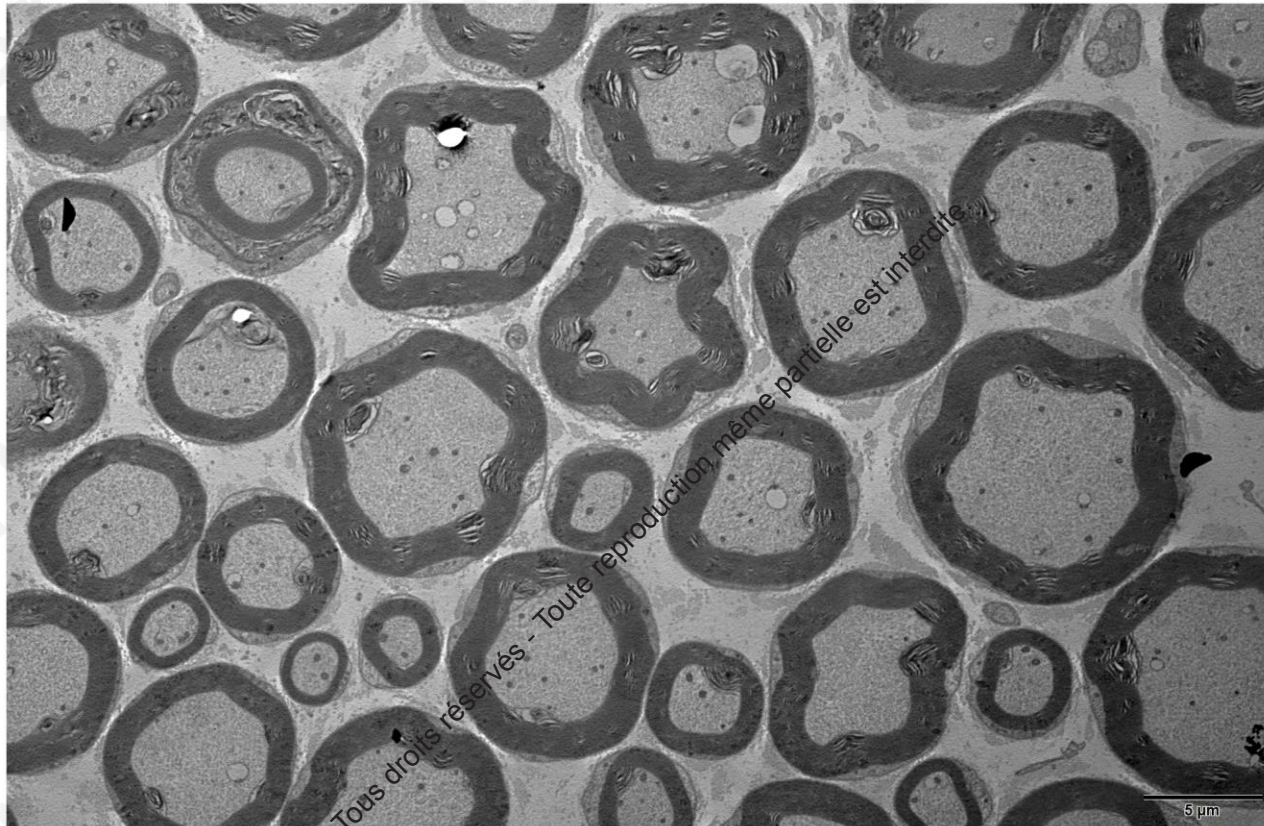


Induction d'une **allodynie mécanique** à J30  
Pas d'altération détectable de la coordination motrice, de la force de préhension et de la sensibilité thermique

# Microscopie électronique des nerfs sciatiques



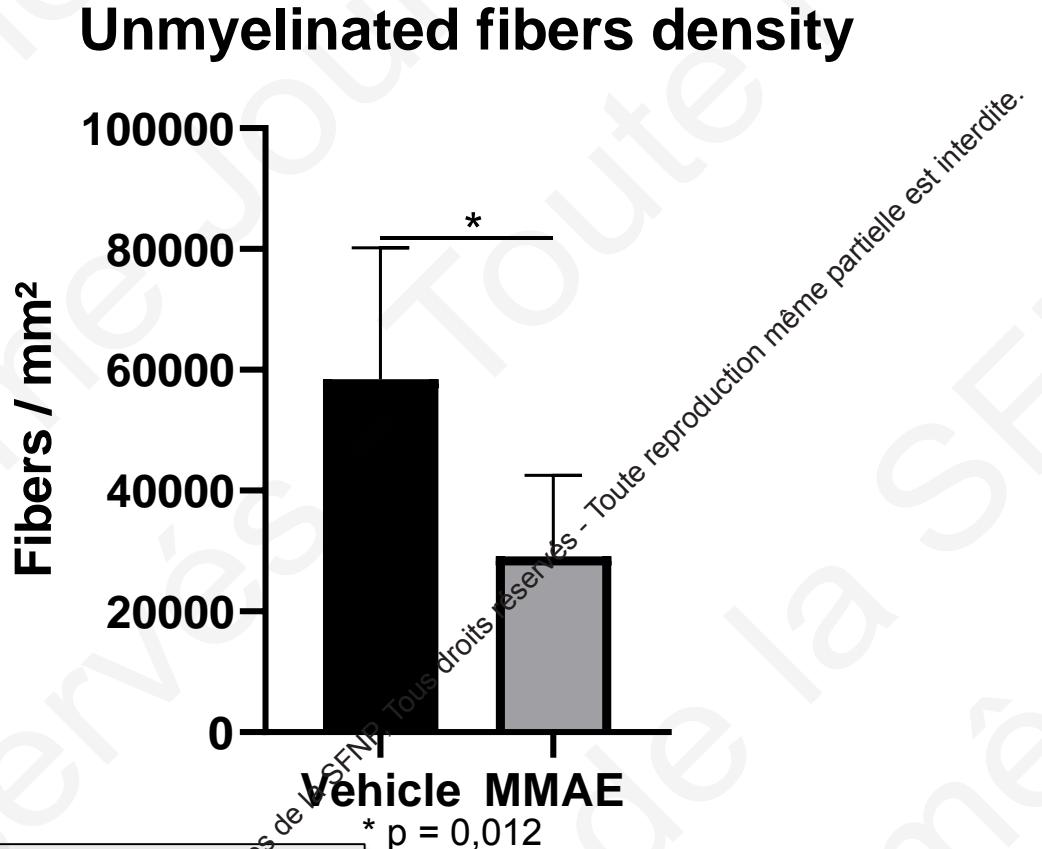
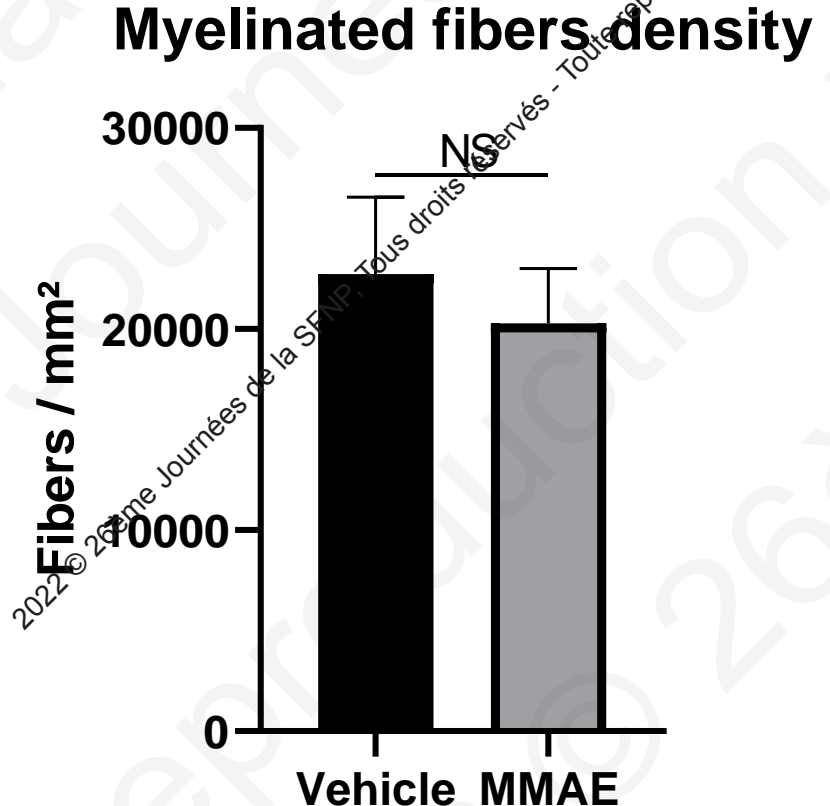
Véhicule



MMAE

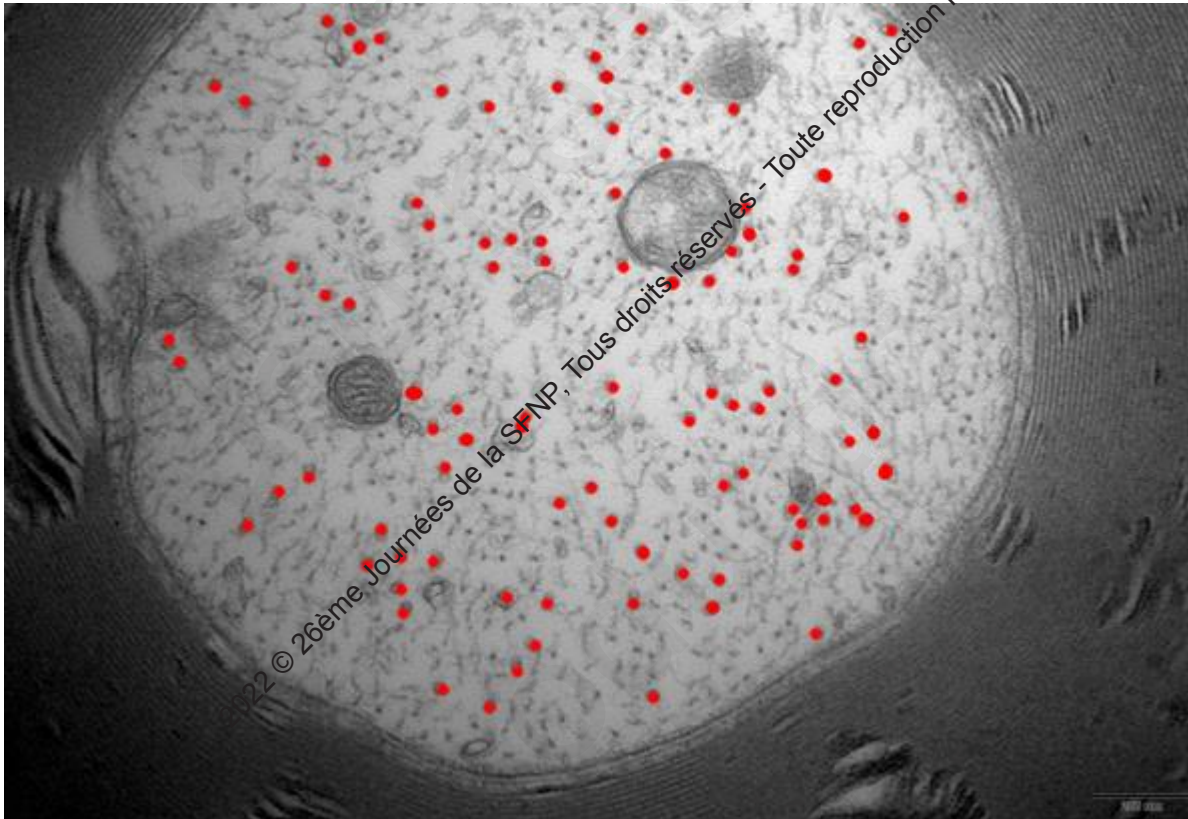
Impression de réduction de la densité en **petites fibres non myélinisées**

# Densités en fibres du nerf sciatique

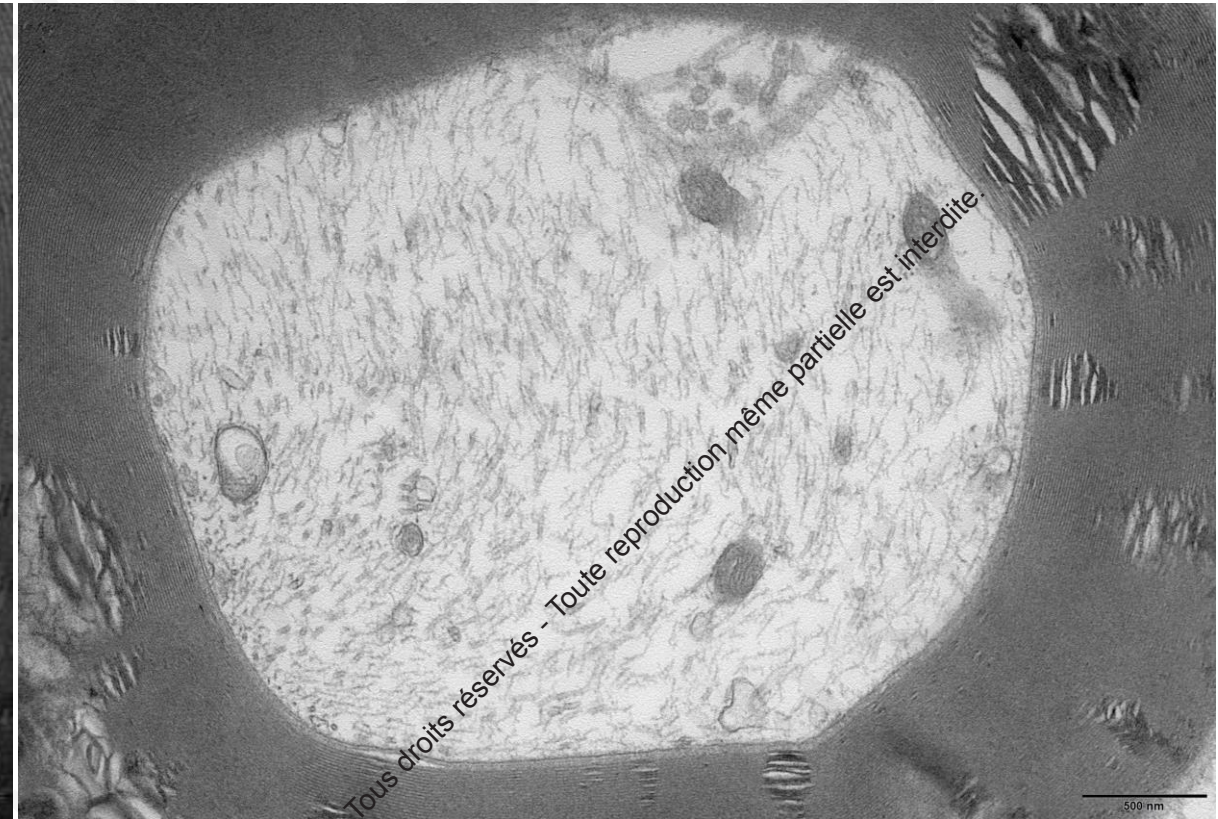


Baisse non significative de la densité en grosses fibres myélinisées  
Réduction de la densité en petites fibres non myélinisées

# Microtubules



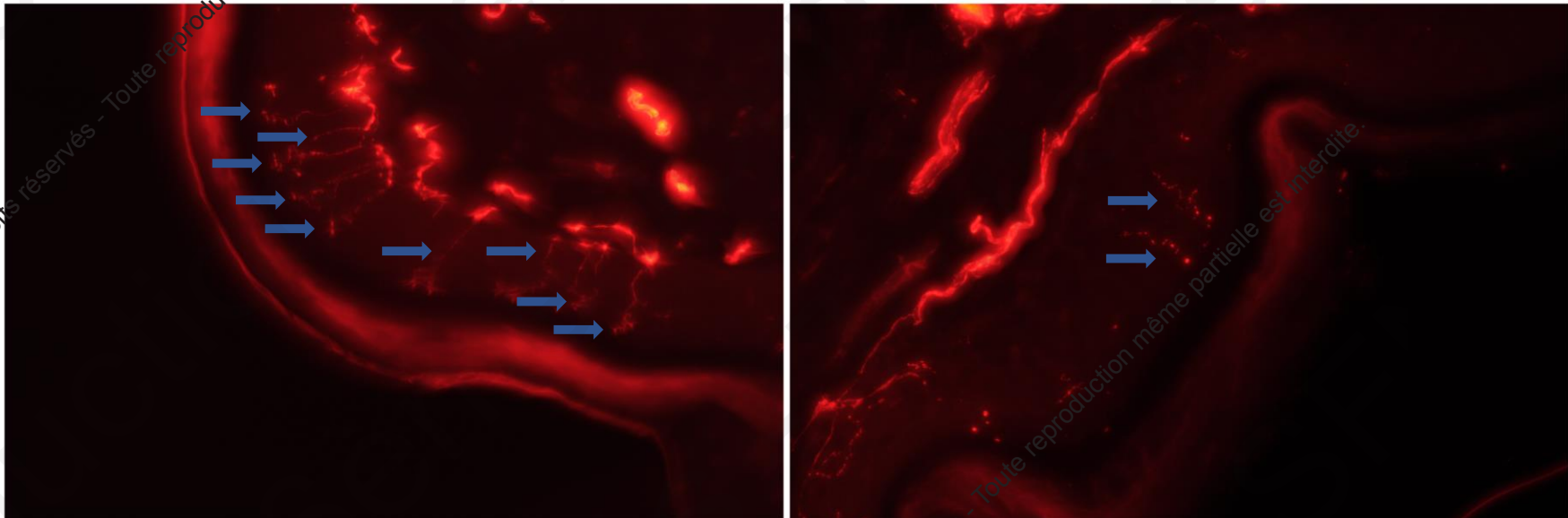
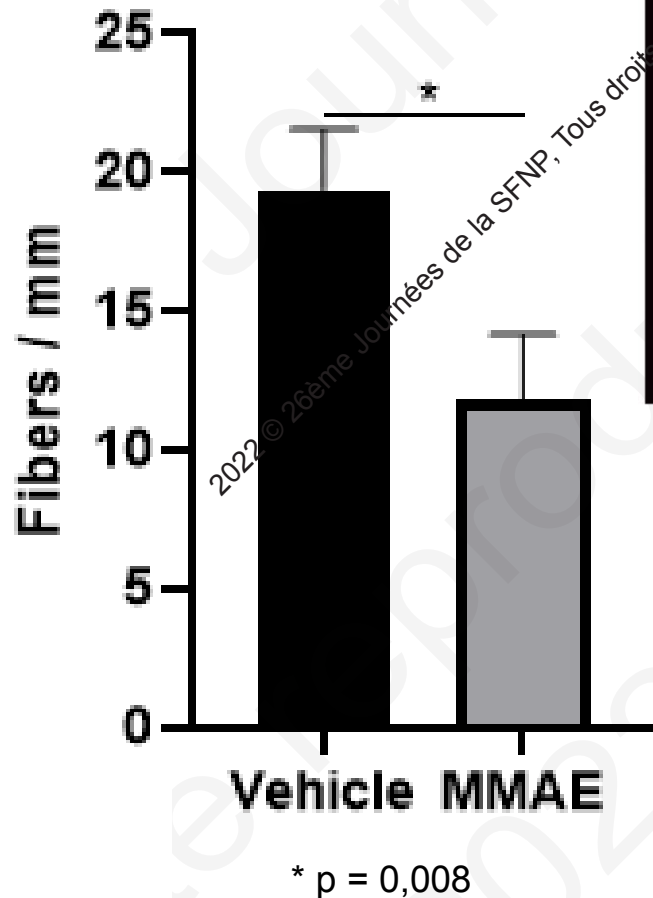
Véhicule



MMAE

Aspect de désorganisation du **réseau microtubulaire** et de désorganisation spatiale des neurofilaments comme rapporté par Mariotto et Al.

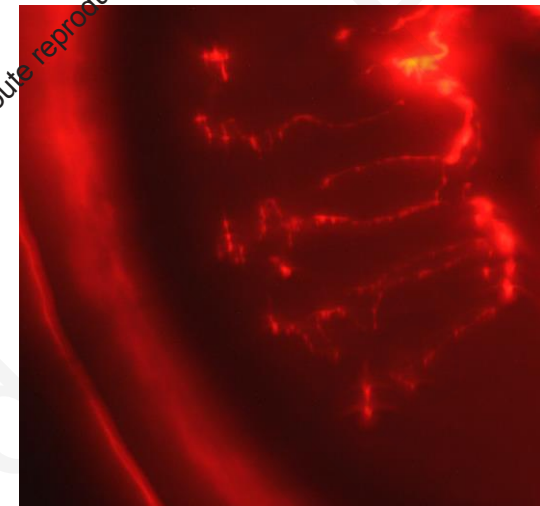
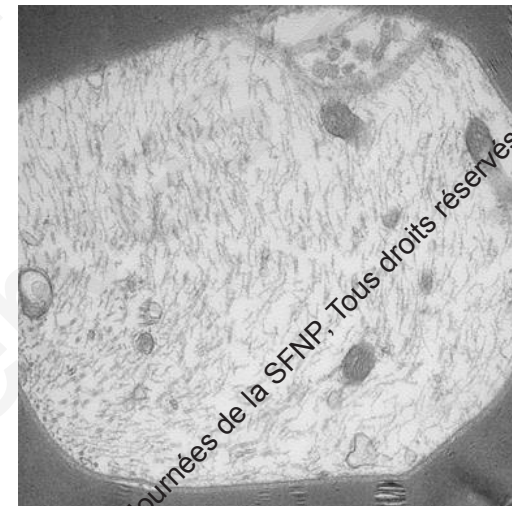
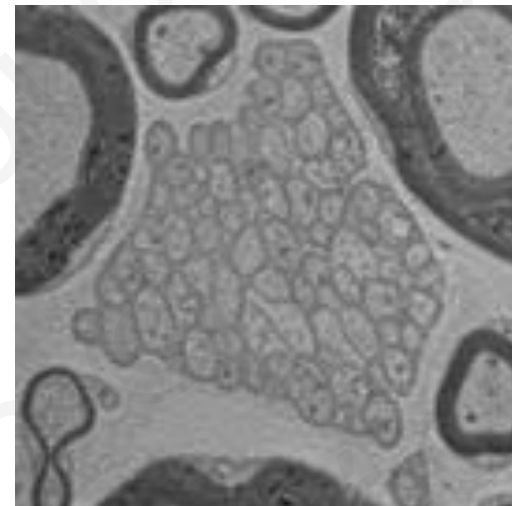
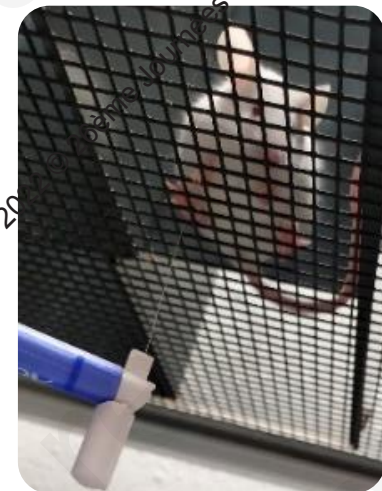
# Fibres nerveuses intra-épidermiques



Réduction de la densité des petites fibres nerveuses intra-épidermiques

# Résumé du modèle de NP à la MMAE

Allodynie tactile	Baisse densité petites fibres du nerf sciatique	Désorganisation du réseau microtubulaire	Perte en FNIE
Von Frey ~J30	Microscopie électronique	Microscopie électronique	Immunohistochimie (GP9.5)



# Conclusion

- Premier modèle murin de neuropathie induite à la MMAE
  - Neuropathie à prédominance petites fibres
  - Délai d'apparition long comme chez l'Homme : 20-32 semaines Brentuximab-Vedotin (Stagg et al. 2016)
- Modèle transposable aux nombreux immunoconjugués à auristatine
- Permettra d'évaluer le potentiel de molécules neuroprotectrices